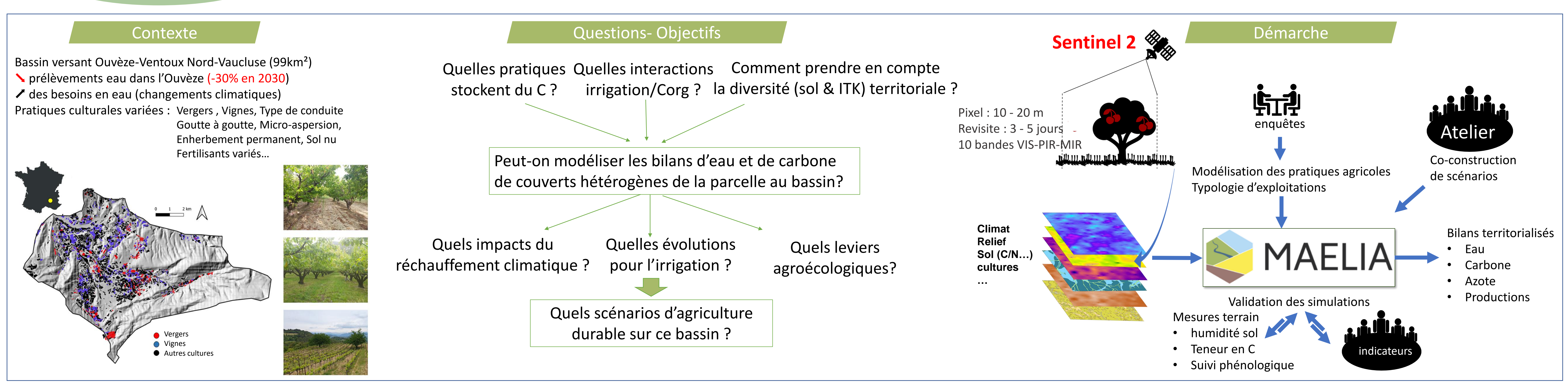
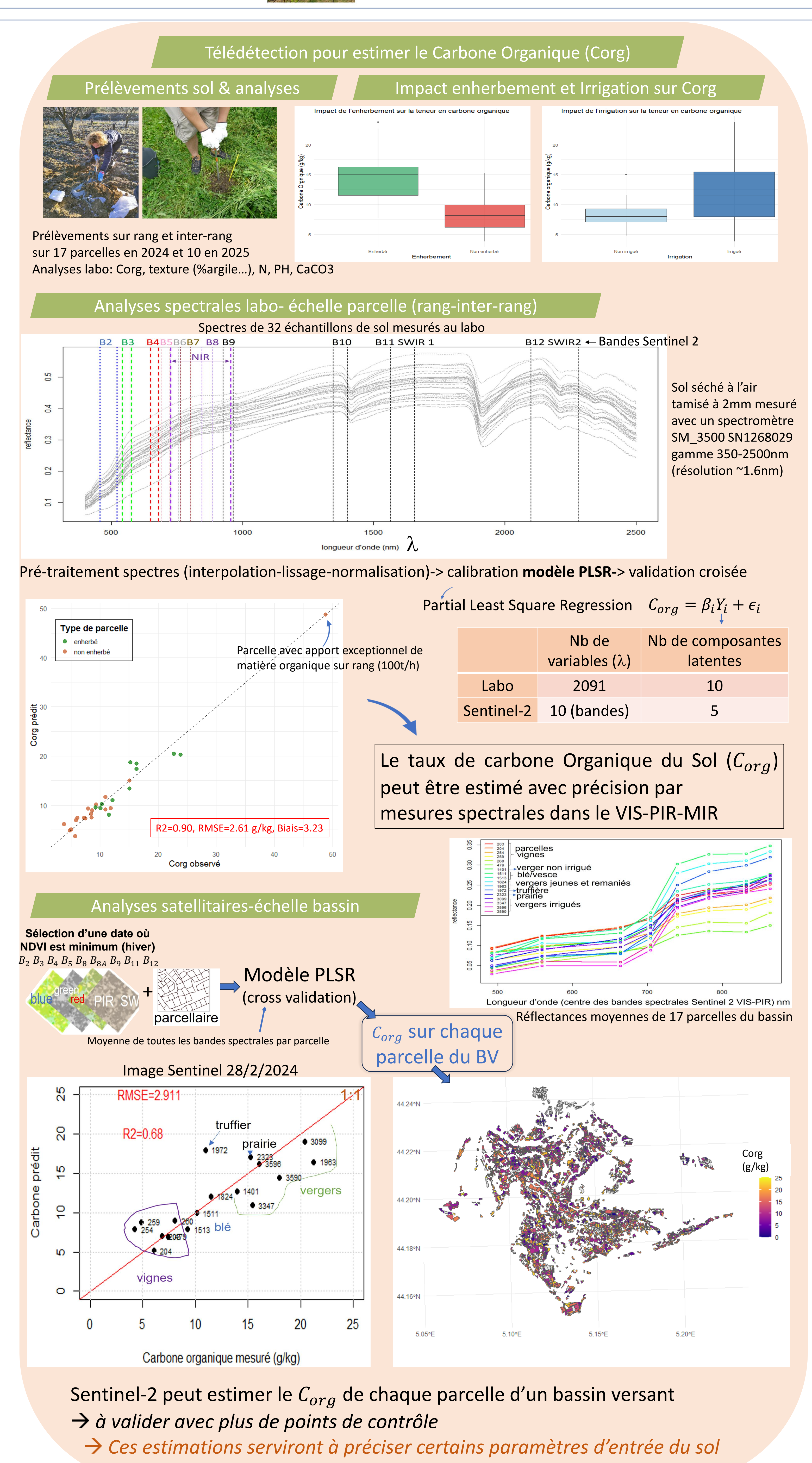


Impact des pratiques culturales sur la variabilité spatiale du carbone organique de la parcelle au bassin versant à l'aide d'images satellitaires Sentinel-2

Simon Charrière, Dominique Courault, Guillaume Pouget, Claude Doussan, Céline Pelosi, Annette Bérard, Fabrice Flamain UMR 1114 EMMAH INRAE AVIGNON, Domaine St Paul, <u>Simon.charriere@inrae.fr</u>





Télédétection pour caractériser l'hétérogénéité spatiale des cultures Modulation de la demande Équivaut à un ray gras en eau spécifique à la culture bien irrigué Evapotranspiration Demande climatique f(Rg,T,U,HR)Modèle AqYield, Kc journalier : $K_c(d) = K_c(d-1) + \delta K_c(d)$ $SDD_{lev\'ee} \searrow \delta K_c(d) = \frac{3Lj.T_{moy}}{1000} \cdot \frac{TR(d)}{TR_{max}} \times \min([K_{max} - K_c]; C_{vig}^{echV^{1,5}})$ $Apr\`es \bigotimes \delta K_c(d) = \frac{-2.T_{moy}}{1000} \cdot \frac{TR(d)}{TR_{max}} \times [\frac{echV(d) - 1}{SDD(d)}]^{2.5} \xrightarrow{\text{paramètres}} \text{par culture}$ Bilan hydrique Parcelle de cerisier : K_c annuel Sentinel 2 & K_c maximal théorique Sentinel 2, de 2016 à 2025 Kc_{\max} 2025... 2016 2018 2021 K_c annuel NDVI 2023 Par parcelle **FCover** parcellaire Méthode décrite dans Rouault et al, 2025 $_{
m o}$ $SDD_{
m lev\'ee}$ $SDD_{maturit\acute{e}}$ Hypothèse 1: on considère l'enveloppe maximale du Kc Méthode calculé par AqYield correspondant à une culture sans stress hydrique 1) Détermination (avec fonction R) des 4 paramètres sur l'enveloppe maximale des différents Kc calculés par satellite par année par parcelle + ajustement Cvig 2) Vérification 1 : Simulation AqYield sans stress proche du Kc satellite maximal 3) Vérification 2 : Simulation AqYield cas réel proche du Kc Satellite observé ? Kc 1^e janv 31 dec 4) Classification des réponses des Kc satellites pour catégoriser les types de cultures à définir pour MAELIA Kc journalier mesuré par télédétection pour des vergers Consommation Exemple distinction entre jeunes d'eau : -40 % et vieux vergers (seuillage NDVI)

Références

Rouault, P, Courault D et al, (2025). Integration of sentinel-2 data into the SIMETAW model for assessing irrigation water requirements and evapotranspiration. *Agricultural Water Management*, 317, 109637. https://doi.org/10.1016/j.agwat.2025.109637

du modèle AqYield dans MAELIA

Rouault, P., Courault, D., et al (2024). High-resolution satellite imagery to assess orchard characteristics impacting water use. *Agricultural Water Management*, *295*, 108763. doi.org/10.1016/j.agwat.2024.108763

 $K_c \rightarrow$ déterminés par télédétection \rightarrow amélioration de la catégorisation des culture à l'échelle du territoire dans MAELIA

1^e janv

31 dec

discrimination

Entre 200 et 250 j

Ex : jeunes verger vs verger en production, distingués selon leur consommation d'eau.

Estimation du C_{org} par télédétection \rightarrow permet la prise en compte de la variation spatiale à l'échelle du territoire, par année.

A l'avenir, on propose la même approche pour cartographier les variations de texture

Rouault et al, 2023